

# Studi Numerik Pengaruh Pemasangan Bump Segitiga terhadap Karakteristik Aerodinamika pada Pelat Datar

Bangkit Angestu Aji, Herman Sasongko

Received: 29 May 2025 Accepted: 22 July 2025 Published: 11 November 2025

Keywords: Pelat datar, Bump, Turbulen, Studi Numerik

#### **ABSTRAK**

Dalam transisi menuju energi yang lebih efisien dan ramah lingkungan, Indonesia menghadapi tantangan kompleks, terutama karena masih bergantung pada energi fosil untuk memenuhi kebutuhan energinya. Ketergantungan ini berdampak pada tingginya konsumsi energi, khususnya di sektor transportasi. Untuk mengurangi konsumsi energi pada sektor ini, diperlukan upaya efisiensi, salah satunya melalui peningkatan performa aerodinamika kendaraan. Penelitian di bidang mekanika fluida, khususnya terkait drag, lift, dan boundary layer, menjadi sangat penting dalam konteks ini. Salah satu metode yang digunakan adalah passive flow control, seperti modifikasi geometri kendaraan, yang terbukti lebih efisien, berbiaya rendah, dan dapat secara signifikan mengurangi konsumsi energi. Pada penelitian ini, geometri pelat datar dimodifikasi dengan penambahan bump untuk mengkaji pengaruhnya terhadap karakteristik aliran. Hipotesis awal penelitian ini adalah peletakan bump akan mempengaruhi bentuk separation bubble, sehingga aliran yang melewati pelat datar akan menjadi turbulen lebih cepat dengan penambahan bump dapat menghasilkan bubble separation yang meningkatkan momentum aliran, sehingga memperkuat profil momentum dan menunda terjadinya separasi, yang diharapkan dapat mengoptimalkan gaya drag. Untuk membuktikan hipotesis di atas maka penelitian ini dilakukan dengan melakukan simulasi numerik CFD dengan menambahkan bump berbentuk segitiga sama kaki dengan variasi sudut 15°, 30°, 45°, 60° dan juga bilangan Reynold sebesar 2,7x10<sup>3</sup> dan 4,2x10<sup>3</sup> pada *pelat datar* untuk mengamati fenomena aliran. Hasil simulasi menunjukkan bahwa penambahan bump segitiga menghasilkan perubahan signifikan pada distribusi koefisien tekanan (Cp) dan pola aliran di sekitar pelat datar. Peningkatan sudut bump menyebabkan gradien tekanan yang lebih tajam dan pembentukan separation bubble yang lebih panjang bubble paling tebal berada pada sudut bump 60°, 45°, 30°, 15°. Namun timbulnya bubble pada pelat datar membuat nilai koefisien drag pada pelat datar dengan bump lebih tinggi dari pelat datar tanpa bump, nilai koefisien *drag* yang paling mendekati ada pada *bump* 15<sup>0</sup>, 30<sup>0</sup>, 45<sup>0</sup>, 60<sup>0</sup>. Analisis pada dua bilangan Reynolds menunjukkan bahwa aliran pada Re yang lebih tinggi cenderung lebih turbulen, menghasilkan pola aliran yang lebih kompleks dan area resirkulasi yang lebih luas. Koefisien drag pada pelat datar dengan bump segitiga tercatat lebih tinggi dibandingkan pelat datar polos untuk semua variasi yang diuji.

## **PENDAHULUAN**

Dalam transisi menuju energi yang lebih efisien dan ramah lingkungan, Indonesia menghadapi tantangan kompleks. Sebagai negara dengan populasi besar dan pertumbuhan ekonomi pesat, Indonesia masih sangat bergantung pada energi fosil vang mendominasi konsumsi energi nasional. Tercatat pada tahun 2023 konsumsi energi final nasional Indonesia meningkat sekitar 5,4%, menjadi 137 ton equivalent dari tahun sebelumnya yang sebesar 130 ton equivalent dengan persebaran energi sebesar 40% batu bara, 30,18% minyak bumi, 16,28% gas bumi, dan energi terbarukan hanya sebesar 13,09%. Untuk mengatasi hal ini, berbagai upaya dilakukan, termasuk penelitian dan inovasi khusunya dalam bidang mekanika fluida yang berkaitan dengan karakteristik aerodinamika seperti gaya hambat (drag), gaya angkat (lift), dan lapisan batas (boundary layer). Studi tentang boundary layer control, baik aktif maupun pasif, menjadi fokus untuk meningkatkan efisiensi energi dalam berbagai aplikasi, termasuk transportasi. Passive flow control, seperti modifikasi geometri pada body kendaraan, dinilai lebih menguntungkan karena biaya rendah dan mengurangi konsumsi energi [3].

Lapisan batas (boundary layer) adalah lapisan tipis fluida yang berada dekat dengan permukaan benda padat yang dapat memunculkan efek viskositas fluida sangat signifikan. Dalam konteks aerodinamika, pengendalian lapisan batas (boundary layer control) menjadi penting untuk mengoptimalkan performa aerodinamis, seperti mengurangi gaya hambat (drag). Gaya hambat (drag) dapat diminimalisir dengan cara menunda terjadinya separasi aliran, karena separasi aliran inilah yang menyebabkan gaya hambat (drag) timbul dan memengaruhi kinerja sistem. Salah satu cara untuk menunda separasi adalah dengan memintas aliran agar menjadi turbulen. Pembahasan terkait topik ini masuk dalam domain manipulasi terhadap boundary layer pada suatu aliran atau bisa disebut boundary layer control. Penelitian ini mencari tahu bagaimana dampak pemasangan bump segitiga pada pelat datar dapat mempengaruhi karakteristik aerodinamis dengan memanipulasi boundary layer [1][2][4].

Hariyadi melakukan penelitian dengan melibatkan penambahan *bump* berbentuk segitiga dengan ketinggian 21 mm pada sebuah pelat datar. Penelitian ini dilakukan secara eksperimen pada *wind tunnel*. Hasil menunjukkan bahwa aliran setelah melewati *bump* segitiga mengalami separasi yang masif akibat tajamnya *adverse pressure gradient*, sehingga gaya *drag* total mengalami kenaikan sepanjang pelat datar. Namun, titik separasi tidak

dipengaruhi oleh variasi bilangan Reynolds yang sudah ditentukan [5].

Sutardi et al melakukan riset dengan melibatkan penambahan semi-circular bump pada pelat datar. Model pelat datar dengan semi-circular bump dan tanpa kawat dipasang pada wind tunnel untuk tes model. Kawat dipasang pada tiga posisi sudut berbeda pada permukaan bump 30 derajat, 40 derajat, dan 50 derajat. Distribusi tekanan pada permukaan pelat maupun pada permukaan bump diukur menggunakan tap tekanan statis yang dihubungkan ke manometernya, menghasilkan peningkatan koefisien geser drag serta memajukan titik separasi pada boundary layer [6].

Mehtar & Althaf melakukan penelitian dengan menambahkan rintangan berupa *bumps* (tonjolan) dan dimples (cekungan) dengan dua jenis bentuk, yaitu bola dan piramida, pada sebuah airfoil NACA 0012. Penelitian ini dilakukan menggunakan metode komputasi fluida. Hasil penelitian menunjukkan bahwa semua bentuk rintangan menyebabkan penundaan separasi aliran dan aliran balik, serta semua modifikasi terbukti dapat menurunkan gaya *drag*. Rasio gaya angkat terhadap gaya hambat (L/D) terbukti meningkat kecuali pada bentuk rintangan piramida. Dari hasil ini, dapat disimpulkan bahwa cekungan lebih efektif dibandingkan tonjolan [8].

Azmi melakukan eksperimen dengan melibatkan penambahan vortex generator pada airfoil NASA LS-Dalam penelitian ini, parameter yang divariasikan adalah ketinggian vortex generator dan jarak penempatannya dari leading edge. penelitian menunjukkan bahwa penambahan vortex generator dapat menunda terjadinya separasi pada airfoil NASA LS-0417, dengan jarak optimal untuk menunda separasi adalah 0,3 dan ketinggian vortex generator vang optimal adalah 1 mm. Pada variasi iarak 0.3 dan ketinggian 1 mm, vortex generator menunjukkan peningkatan performa sebesar 14% pada nilai *Cl/Cd* [7].

Berdasarkan penelitian-penelitian tersebut, dapat dikatakan bahwa manipulasi pada boundary layer dengan meletakkan bump pada sebuah pelat datar dapat mempercepat terjadinya transisi boundary layer yang berakibat menunda terjadinya separasi aliran pada buritan. Dengan begitu timbul ide untuk melakukan studi yang lebih lanjut mengenai aliran melalui bump berbentuk segitiga dengan memvariasikan sudut sisi miring. Diharapkan dengan memberi variasi tersebut, dapat mempengaruhi geometri bubble separation yang terjadi, dengan harapan pada akhirnya dapat mempengaruhi turbulen pada aliran di belakangnya. Penelitian ini dilakukan dengan tujuan memberikan informasi tambahan terhadap ilmu pengetahuan terkait boundary layer control, meliputi fenomena aliran yang

terbentuk dan optimalisasi yang dapat dilakukan untuk mendapatkan hasil terbaik terkait efek pemberian *bump* pada pelat datar terhadap karakteristik dari *boundary layer* yang terbentuk.

## METODOLOGI PENELITIAN

## A. Model Uji

Model uji yang digunakan pada penelitian ini adalah pelat datar.



Gambar 1. Geometri penelitian

## B. Bahan dan Alat

Penelitian ini mensimulasikan aliran yang melalui sebuah pelat datar dua dimensi yang sudah diberi *obstacle* berupa *bump* segitiga sama kaki dengan ketinggian 4 mm serta variasi sudut dan bilangan Reynolds sebesar 2,7x10<sup>3</sup> dan 4.2x10<sup>3</sup>.

Tabel 1. Variasi Penelitian

| Bentuk bump                 | Sudut sisi (a) |
|-----------------------------|----------------|
| Segitiga sama kaki (h=4 mm) | 15°            |
|                             | 30°            |
|                             | 45°            |
|                             | 60°            |



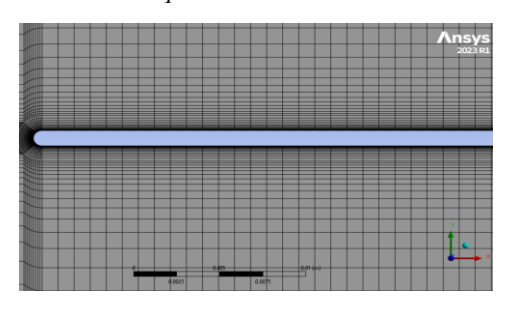
Gambar 2. Variasi sudut bump

## C. Pelaksanaan Penelitian

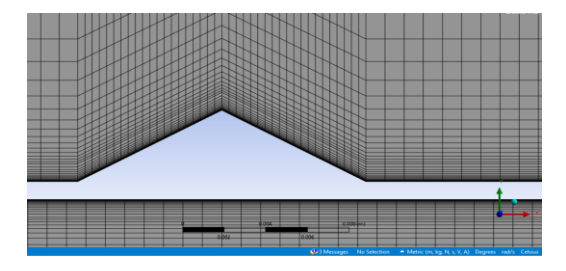
Penelitian dilakukan secara numerik menggunakan software ANSYS 2023 R1 dengan metode CFD (computational fluid dynamic). Diawali dengan pembuatan geometri dengan Solidwork lalu menuju tahap pre-processing (meshing dan boundary condition), processing (pengambilan data), dan processing (pengolahan hasil penelitian).

## D. Pre Processing

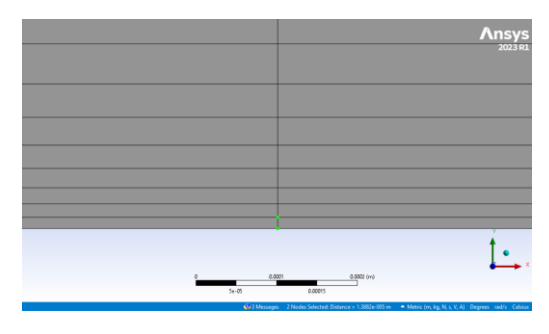
Pada tahap ini dilakukan pembuatan model pelat datar dengan Solidwork serta domain dan *meshing* volume pada domain dengan tujuan untuk mendiskritisasi bagian-bagian yang akan dilakukan kalkulasi. *Meshing* yang digunakan berjenis *structured mesh* dan dominasi *quad cell*.



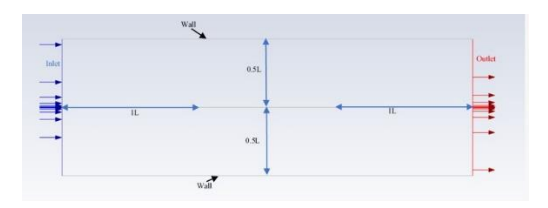
Gambar 3. Meshing model uji



Gambar 4. Meshing model uji



**Gambar 5.** Meshing model uji area boundary layer dengan first layer thickness  $1.3882 \times 10^{-5}$  m sepanjang kontur pelat datar



Gambar 6. Boundary Condition

#### E. Processing

Skala model yang digunakan yaitu dalam satuan mm. Model yang digunakan adalah model solver dan turbulence model jenis K – ω SST. Materials Jenis dan properties dari material dimasukkan sesuai dengan kondisi dari lingkungan yaitu pada temperatur 30°C dan tekanan 1 atm. Pemodelan ini menggunakan udara sebagai fluida kerja dengan density (ρ) 1,225 kg/m<sup>3</sup> dan viskositas (µ) 1,79 x 10<sup>-5</sup> kg/m.s. Operating conditions menggunakan standard temperature dan pressure yaitu 1 atm atau 101325 Pascal. Pada daerah inlet boundary conditions didefinikan velocity inlet 9,75 m/s, 15,5 m/s dan Reynolds numberss 2,7x103 dan 4,2x10<sup>3</sup>. Boundary conditions pada sisi outlet adalah outflow. Bagian sisi atas, didefinisikan sebagai wall. Solutions-solutions pada penelitian ini menggunakan discretization second order untuk pressure, second-order upwind untuk momentum, turbulence kinetic energy dan turbulence dissipation rate. Initialize pada inlet didefinisikan sebagai velocity inlet sebesar 9,75 m/s dan 15.5 m/s. Kriteria konvergensi ditetapkan sebesar 10<sup>-6</sup>, artinya proses iterasi dinyatakan telah konvergen setelah residualnya mencapai harga kurang dari atau sama dengan 10<sup>-6</sup>. Untuk persamaan kontinuitas, momentum ke arah x, y, dan z ditetapkan kriteria konvergensi sebesar  $10^{-6}$ .

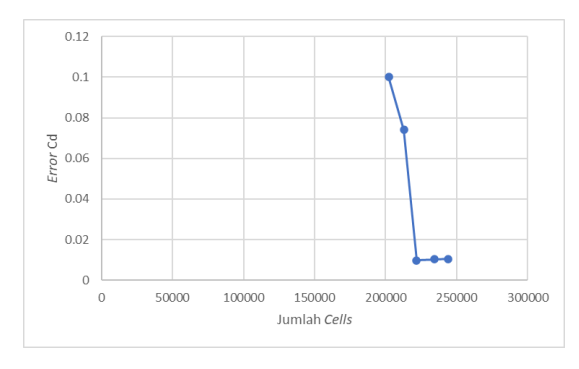
Proses *running* dilakukan di ANSYS 2023 R1 *Fluent* hingga perhitungan mencapai *convergence* setelah menentukan jumlah iterasi yang sesuai.

## F. Post Processing

Pada tahap ini dilakukan ekstraksi data untuk menunjang pembuktian dari hipotesa, data yang diekstrak adalah data *streamline*, data Cp, profil kecepatan, intensitas turbulen dan turbulen *kinetic energy*, dan koefisien *drag*.

## G. Grid Independence Test

Grid Independence Test (GIT) merupakan pungujian untuk membuktikan bahwa hasil simulasi yang didapat tidak bergantung pada jumlah elemen pemodelan. Metode yang digunakan adalah menguji jumlah grid independence terhadap suatu nilai yang sama, pengujian akan baru berhenti ketika hasil simulasi sudah stagnan walauun jumalah grid berubah.



Gambar 7. Grafik perbandingan error akan cd dengan jumlah mesh

## HASIL DAN PEMBAHASAN

#### A. Validasi

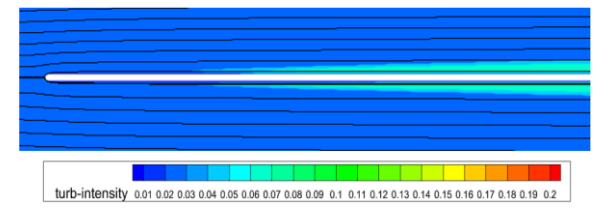
Validasi ini dilakukan dengan membandingkan hasil eksperimen dengan hasil simulasi yang pernah dilakukan. Hasil simulasi yang akan dibandingkan yaitu nilai koefisien *drag* (Cd) dengan hasil penelitian yang dilakukan oleh Hariyadi [1]. Penggunaan penelitian dikarenakan memiliki geometri yang hampir sama dan kecepatan 9,75 m/s dengan perbedaan geometri dari *pelat datar*.



Gambar 8. Grafik perbandingan hasil penelitian dengan penelitian terdahulu

Dapat dilihat penelitian saat ini memiliki nilai Cd yang relatif lebih kecil dengan tingkat *error* sebesar 5,23% sehingga penelitian masih dapat dianggap valid karena nilai *error* dibawah 10%.

## B. Karakteristik Aliran pada Pelat Datar Polos

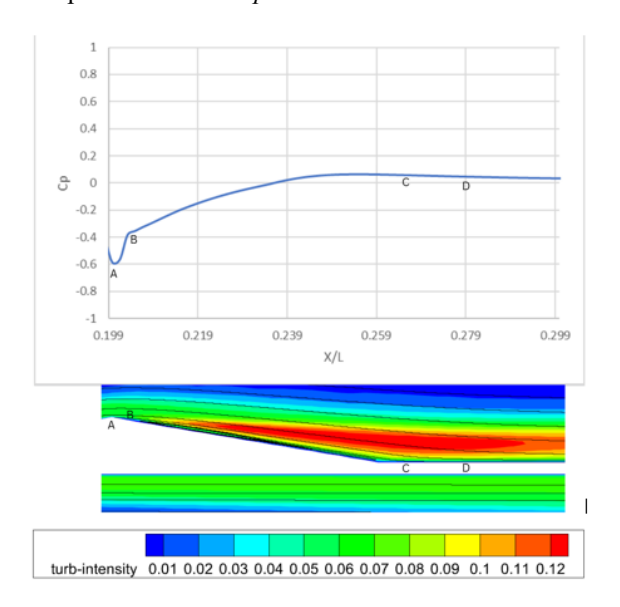


**Gambar 9.** Visualisasi streamline dan turbulent intensity pada pelat datar polos

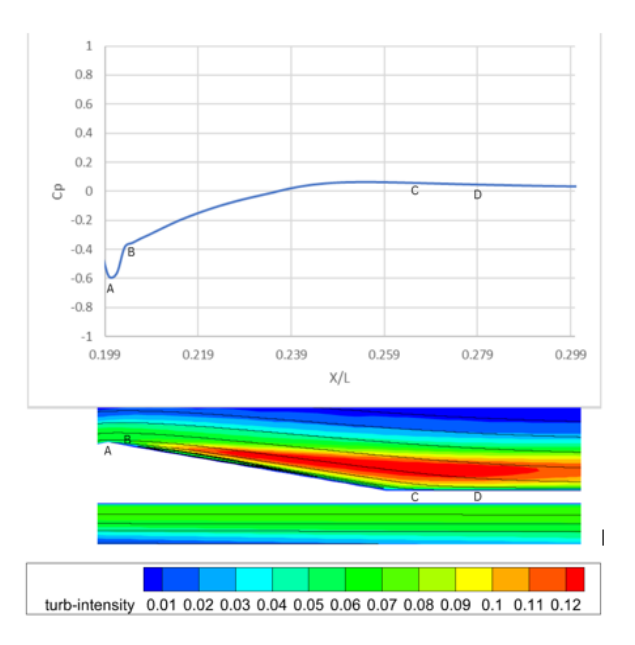
Dapat terlihat bahwa aliran melewati pelat datar diawal mengalami peristiwa stagnasi. Setelah melewati *leading edge* dari pelat datar, aliran tetap konstan dan tidak ditemukannya *bubble separation* yang timbul pada pelat datar polos. Walaupun tidak muncul *bubble*, tetapi terlihat aliran mengalami transisi dari laminar ke turbulen ditandai dengan intensitas turbulen yang timbul. Dari hal tersebut, pelat datar polos tersebut dapat dijadikan acuan untuk memodifikasi pelat datar yang diberi variasi *bump*.

## C. Analisis Karakteristik Aliran pada Pelat datar dengan Bump 15 Derajat

Modifikasi *pelat datar* dengan penambahan *bump* ditujukan untuk memicu terjadinya *buble separation* agar mempercepat transisi aliran dari laminar menuju turbulen. Karakteristik aliran akan direpresentasikan dengan grafik koefisien tekanan dan visualisasi struktur *streamline* pada *pelat datar*, Untuk dianalisis pengaruh dari penambahan *bump* tersebut.

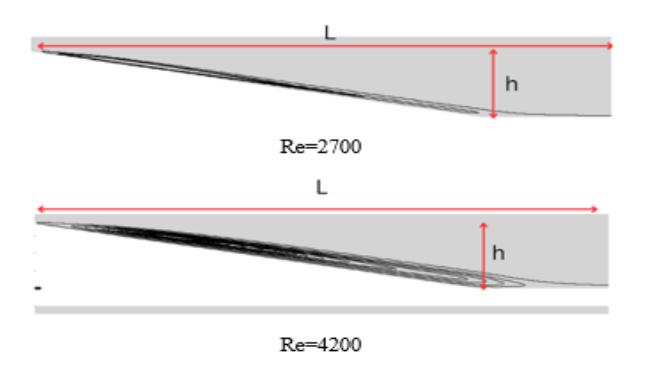


**Gambar 10.** Grafik Cp fungsi x/l dan visualisasi streamline pada  $\alpha$ =15° untuk Re=2700



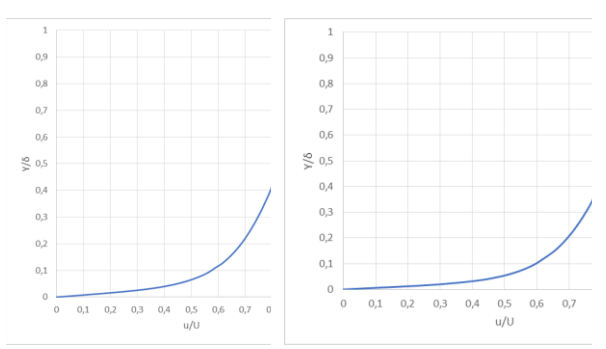
**Gambar 11.** Grafik Cp fungsi x/l dan visualisasi streamline pada  $\alpha$ =15° untuk Re=4200

Dari Gambar 10 dan 11 dapat disimpulkan bahwa modifikasi geometri berupa *bump* segitiga menghasilkan perubahan signifikan pada distribusi tekanan, pembentukan *bubble separation*, dan transisi aliran, yang merupakan karakteristik penting dalam studi aerodinamika pelat datar dengan pengganggu geometris, serta geometri *bump* memiliki pengaruh signifikan terhadap karakteristik aerodinamika pelat datar pada *Reynolds numbers* 2700 dan 4200, terutama dalam memodifikasi distribusi tekanan dan pola aliran secara keseluruhan.



**Gambar 12.** Detail bubble pada  $\alpha$ =15°

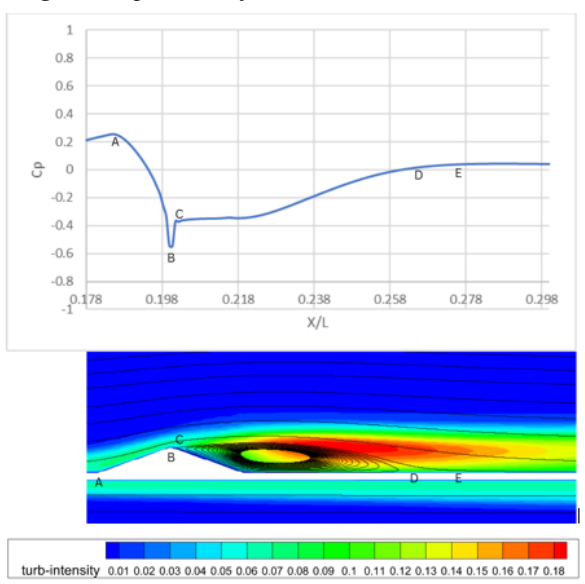
Secara keseluruhan, konfigurasi pada gambar pertama menghasilkan *bubble separation* dengan intensitas yang lebih besar dibandingkan gambar kedua, mengindikasikan bahwa modifikasi geometri berupa *bump* segitiga mampu secara signifikan memengaruhi distribusi tekanan dan karakteristik aliran. Fenomena ini relevan dalam aplikasi aerodinamika untuk mengontrol lokasi separasi dan meningkatkan performa aliran.



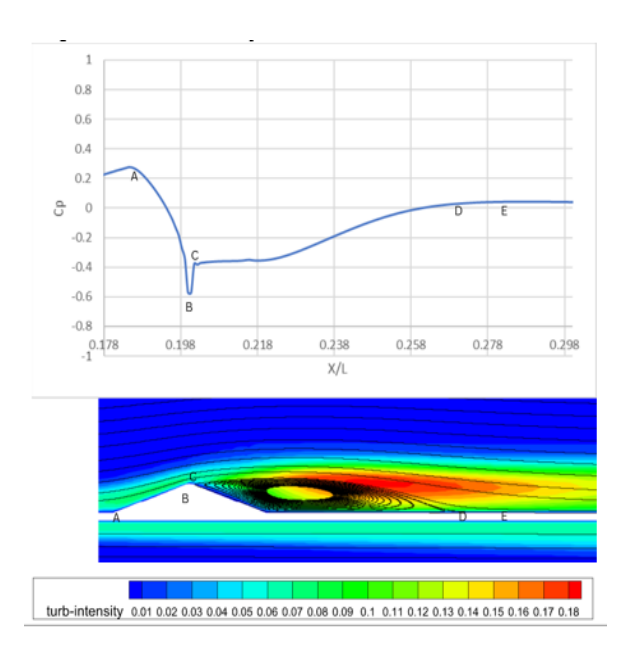
Gambar 13. Grafik profil kecepatan pada 0,5X/L (α=15°) untuk Re=2700 (kiri) dan Re=4200 (kanan)

Grafik profil kecepatan yang halus dengan gradien signifikan di dekat permukaan menunjukkan bahwa bump segitiga memengaruhi perkembangan boundary layer tanpa menyebabkan separasi aliran atau turbulensi penuh. Dengan demikian, pemasangan bump segitiga memberikan kontribusi positif terhadap efisiensi aerodinamika pelat datar melalui pengendalian perkembangan boundary layer.

## D. Analisis Karakteristik Aliran pada Pelat datar dengan Bump 30 Derajat

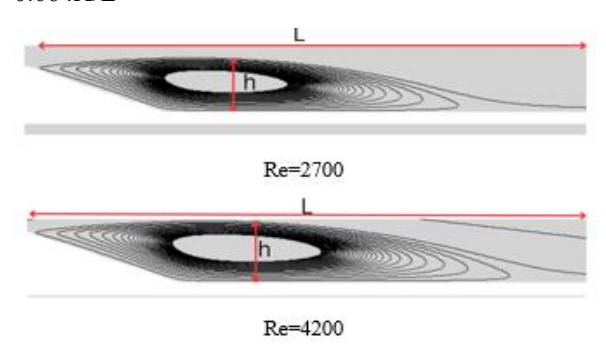


**Gambar 14.** Grafik Cp fungsi X/L dan visualisasi Streamline pada  $\alpha$ =30° untuk Re=2700



**Gambar 15.** Grafik Cp fungsi X/L dan visualisasi Streamline pada α=30° untuk Re=4200

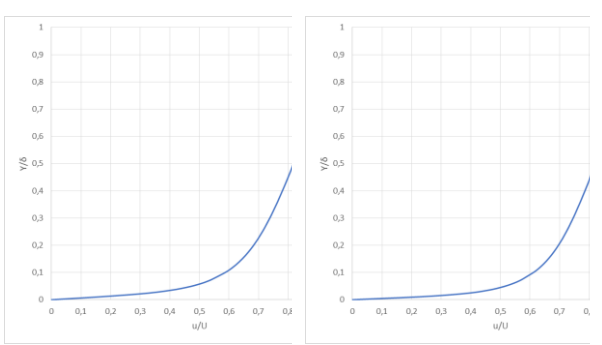
Pada Gambar 14, di titik A (X/L  $\approx$  0.178), nilai Cp positif sekitar 0.2 mengindikasikan tekanan yang relatif tinggi dengan aliran yang masih stabil. Ketika aliran mendekati bump, terjadi penurunan Cp yang signifikan menuju titik B (X/L  $\approx$  0.198) hingga mencapai nilai -0.6, menandakan akselerasi aliran yang kuat akibat convergence streamtube. Fenomena ini terjadi karena momentum aliran tidak mampu mengatasi adverse pressure gradient dan tegangan geser antara permukaan bump dengan aliran fluida. Pada Gambar 15, Pada titik awal (X/L  $\approx$  0.178), nilai Cp positif sekitar 0.25 mengindikasikan tekanan yang relatif tinggi dengan aliran yang masih stabil. Ketika aliran mendekati bump, terjadi penurunan Cp yang signifikan menuju titik B (X/L  $\approx$  0.198) hingga mencapai nilai -0.6, menandakan akselerasi aliran yang kuat akibat convergence streamtube. Fenomena ini diikuti dengan terjadinya separasi pada titik C (X/L ≈ 0.2) yang ditandai dengan kenaikan nilai Cp secara mendadak. Separation bubble yang terbentuk dari titik C hingga titik D (X/L  $\approx$  0.264) memiliki karakteristik yang khas, dengan panjang bubble separation sekitar 0.064X/L



Gambar 16. Detail bubble pada  $\alpha$ =30°

Analisis karakteristik *bubble separation* berdasarkan visualisasi menunjukkan perbedaan signifikan pada dua konfigurasi dengan *Reynolds numbers* yang berbeda (Re = 2700 dan Re = 4200). Pada Re = 2700, rasio panjang *bubble* terhadap panjang karakteristik (L/I) terukur sebesar 0.0382 dengan rasio ketebalan (h/I) 0.00478, sedangkan pada Re = 4200 terjadi peningkatan L/I menjadi 0.0435 dengan h/I relatif konstan pada 0.00476.

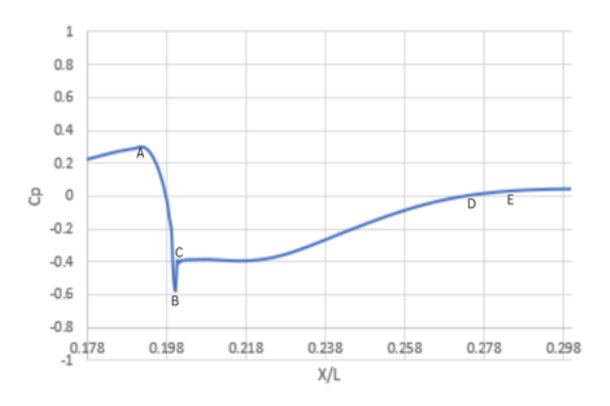
Perubahan Reynolds numbers dari 2700 ke 4200 menghasilkan peningkatan rasio L/l sebesar 13.9% dengan perubahan minimal pada rasio h/l sekitar 0.04%, disertai pola streamline yang lebih kompleks dan area resirkulasi yang lebih luas. Fenomena ini memvalidasi bahwa pemasangan bump segitiga pada pelat datar menghasilkan karakteristik aerodinamika yang berbeda pada variasi Reynolds numbers, dengan pengaruh yang lebih signifikan terhadap panjang separation bubble dibandingkan dengan ketebalannya, dimana hal ini berimplikasi penting pada desain dan optimasi perangkat aerodinamika.

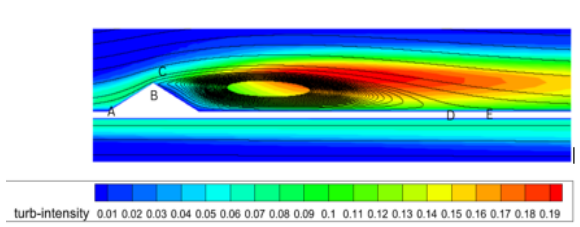


**Gambar 17.** Grafik profil kecepatan pada 0,5X/L (α=30°) untuk Re=2700 (kiri) dan Re=4200 (kanan)

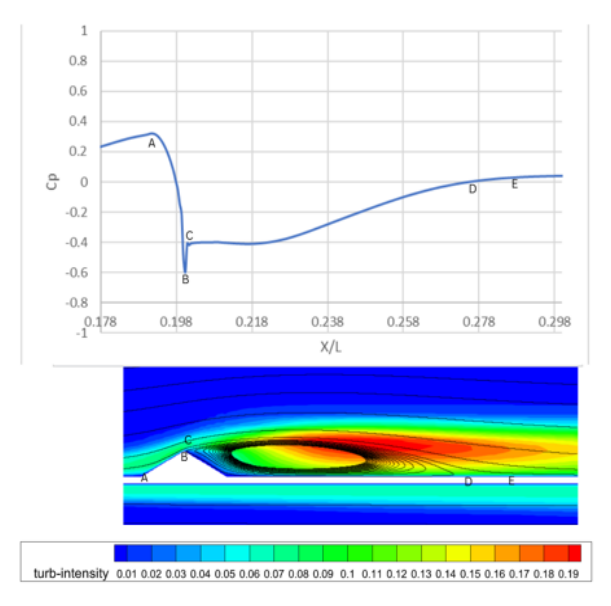
Profil kecepatan memperlihatkan tren non-linear yang signifikan, dengan gradien kecepatan yang sangat tajam pada region  $y/\delta < 0.2$ , mengindikasikan dominasi efek viskos pada daerah dekat dinding. Peningkatan drastis kecepatan yang teramati pada  $y/\delta > 0.4$ mengkonfirmasi adanya akselerasi aliran yang diinduksi oleh keberadaan bump segitiga, dimana kurva menunjukkan gradien positif yang semakin besar hingga mencapai kecepatan freestream. Evaluasi parameter boundary layer pada dua variasi Reynolds numbers mengungkapkan perubahan karakteristik aliran yang substansial, dimana pada Re = 2700 diperoleh nilai shape factor H = 1,2479 dengan displacement ( $\delta^*$ ) = 0.000352 dan ketebalan momentum thickness ( $\theta$ ) = 0.000282, sementara pada Re = 4200 terjadi penurunan *shape factor* menjadi H = 1,2361 dengan penurunan ( $\delta^*$ ) = 0,000338 dan ( $\theta$ ) = 0,000274.

E. Analisis Karakteristik Aliran pada Pelat datar dengan Bump 45 Derajat



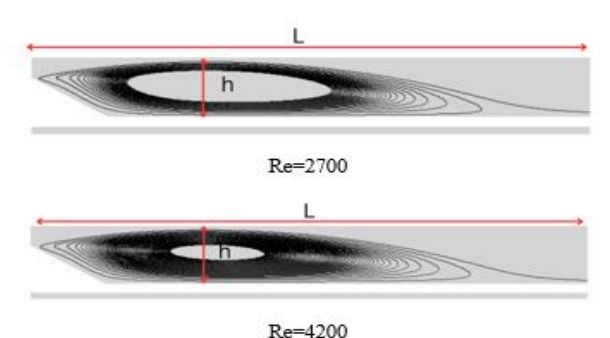


**Gambar 17.** Grafik Cp fungsi X/L dan visualisasi Streamline pada α=45° untuk Re=2700



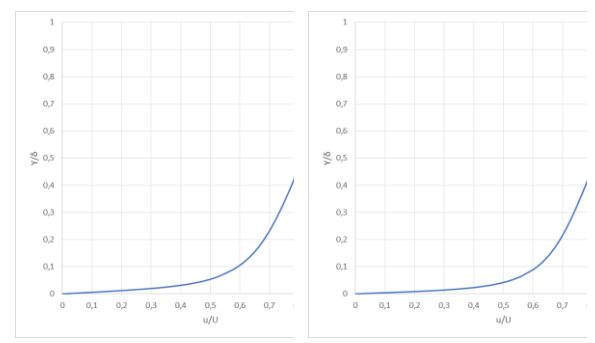
**Gambar 18.** Grafik Cp fungsi X/L dan visualisasi Streamline pada  $\alpha$ =45° untuk Re=4200

Pada Gambar 17, Pada titik A ( $x/1 \approx 0.185$ ), aliran menuniukkan nilai Cp positif sekitar mengindikasikan tekanan yang relatif tinggi sebelum melewati bump. Ketika aliran mendekati titik B (x/l  $\approx$ 0.195), terjadi penurunan Cp yang drastis hingga mencapai nilai -0.6, fenomena ini terjadi akibat aliran melewati daerah convergence, menyebabkan peningkatan kecepatan aliran dan penurunan tekanan sesuai dengan prinsip Bernoulli. Setelah titik B, aliran mengalami recovery tekanan di titik C (x/l  $\approx$  0.2) dengan nilai Cp sekitar -0.4. Pada fase ini, bubble separation mulai terbentuk, ditandai dengan kontur turbulent intensity pada rentang 0.08 hingga 0.13. Bubble separation ini terus berlanjut dari titik C hingga titik E. Pada Gambar 18, di titik A ( $x/l \approx 0.185$ ), aliran memiliki nilai Cp positif sekitar 0.2, menandakan tekanan yang relatif tinggi sebelum memasuki *bump*. Namun, di titik B ( $x/l \approx 0.195$ ), terjadi penurunan drastis hingga mencapai -0.6, di mana peningkatan kecepatan aliran di daerah convergence menyebabkan penurunan tekanan. Setelah melewati titik B, aliran mengalami recovery di titik C ( $x/l \approx 0.2$ ) dengan nilai Cp sekitar -0.4, meskipun *bubble separation* mulai terbentuk, seperti yang ditunjukkan oleh kontur *turbulent intensity*.



Gambar 19. Detail bubble pada bump α=45°

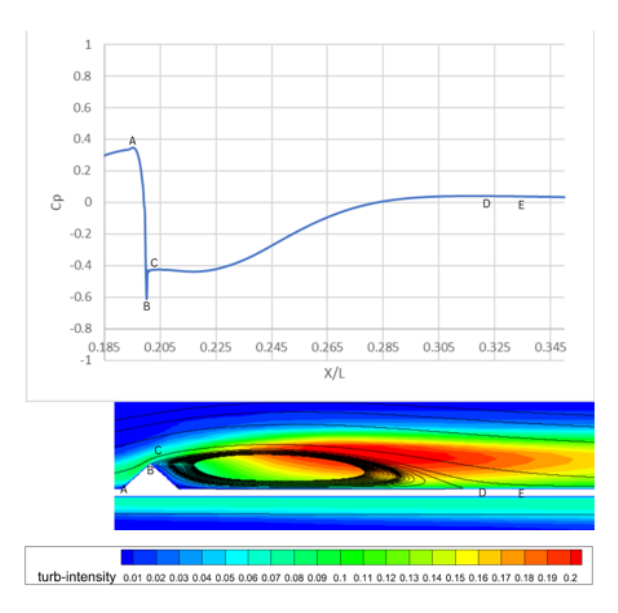
Pada Re = 2700, rasio panjang bubble terhadap panjang karakteristik (L/l) terukur sebesar 0,0545 dengan rasio ketebalan (h/l) 0.00478, sementara pada Re = 4200 terjadi peningkatan L/l menjadi 0.0621 dengan h/l yang relatif konstan pada 0.00476. Peningkatan Reynolds numbers mengakibatkan bubble separation menjadi lebih panjang, mengindikasikan area resirkulasi yang lebih besar akibat adverse pressure gradient yang lebih kuat dan momentum aliran yang lebih tinggi, sehingga menyebabkan titik reattachment bergeser lebih jauh ke downstream.



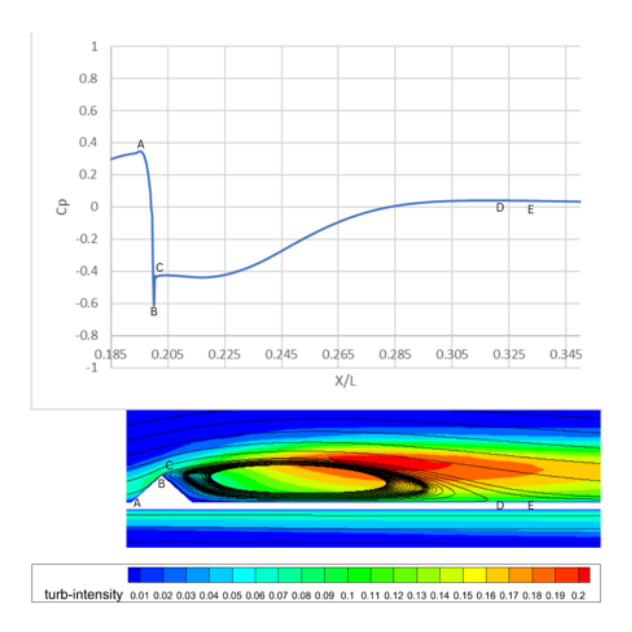
**Gambar 20.** *Grafik profil kecepatan pada 0,5X/L (α=45°) untuk* Re=2700 (kiri) dan Re=4200 (kanan)

Grafik profil kecepatan yang halus dengan gradien signifikan di dekat permukaan menunjukkan bahwa *bump* segitiga memengaruhi perkembangan *boundary layer*, sehingga berpotensi meningkatkan efisiensi aerodinamika pelat datar.

F. Analisis Karakteristik Aliran pada Pelat datar dengan Bump 60 Derajat



**Gambar 21.** Grafik Cp fungsi X/L dan visualisasi Streamline pada  $\alpha$ =60° untuk Re=2700

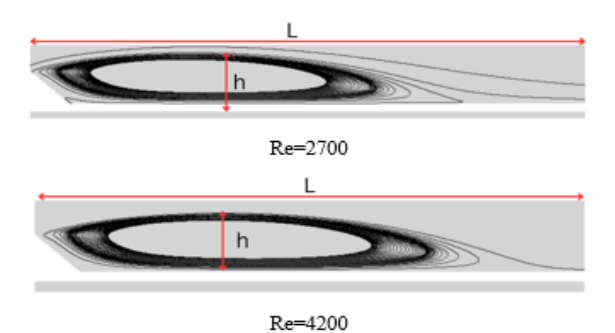


Gambar 22. Grafik Cp fungsi X/L dan visualisasi Streamline pada  $\alpha$ =60° untuk Re=4200

Pada Gambar 21, di titik A ( $x/L\approx0,2857$ ), nilai Cp positif sekitar 0.2 mengindikasikan kondisi tekanan tinggi sebelum aliran mencapai *bump*, menunjukkan aliran yang masih stabil tanpa gangguan geometri. Ketika aliran bergerak menuju titik B ( $x/L\approx0.292$ ), terjadi penurunan drastis nilai Cp*Cp* hingga -0.6, mengindikasikan percepatan aliran yang ekstrem di daerah konvergensi *bump* akibat ketidakmampuan momentum aliran mengatasi gradien tekanan negatif (*adverse pressure gradient*). Selanjutnya, di titik C ( $x/L\approx0.314$ ), terjadi pemulihan tekanan dengan nilai Cp sekitar -0.4, di mana *bubble separation* mulai terbentuk, menandakan transisi aliran dari laminar ke turbulen.

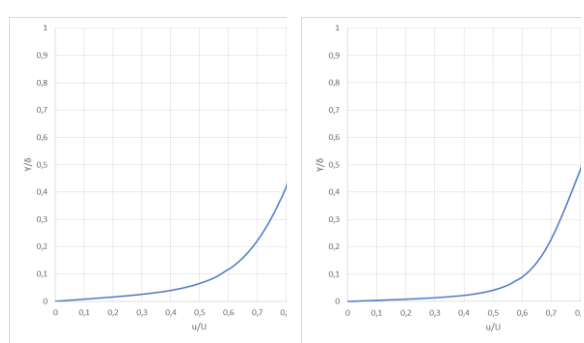
Pada Gambar 22, di titik A (x/L≈0,2857), nilai Cp positif sekitar 0.2 mengindikasikan kondisi

tekanan tinggi sebelum aliran mencapai *bump*, menunjukkan aliran yang masih stabil tanpa gangguan geometri. Ketika aliran bergerak menuju titik B ( $x/L\approx0.292$ ), terjadi penurunan drastis nilai Cp*Cp* hingga -0.6, mengindikasikan percepatan aliran yang ekstrem di daerah konvergensi *bump* akibat ketidakmampuan momentum aliran mengatasi gradien tekanan negatif (*adverse pressure gradient*). Selanjutnya, di titik C ( $x/L\approx0.314$ ), terjadi pemulihan tekanan dengan nilai Cp sekitar -0.4, di mana *bubble separation* mulai terbentuk, menandakan transisi aliran dari laminar ke turbulen.



**Gambar 23.** Detail bubble pada  $\alpha$ =60°

Pada Re = 2700, rasio panjang *bubble* terhadap panjang karakteristik (L/l) terukur sebesar 0.0761 dan rasio ketebalan (h/l) sebesar 0.0088, mencerminkan pola aliran yang lebih sederhana dan area resirkulasi yang lebih kecil akibat momentum aliran yang rendah. Sebaliknya, pada Re = 4200, terjadi peningkatan rasio L/l menjadi 0.0801, yang merupakan peningkatan sebesar 13.9%, sementara rasio h/l tetap hampir konstan pada 0.0093 dengan perubahan minimal sekitar 0.04%.

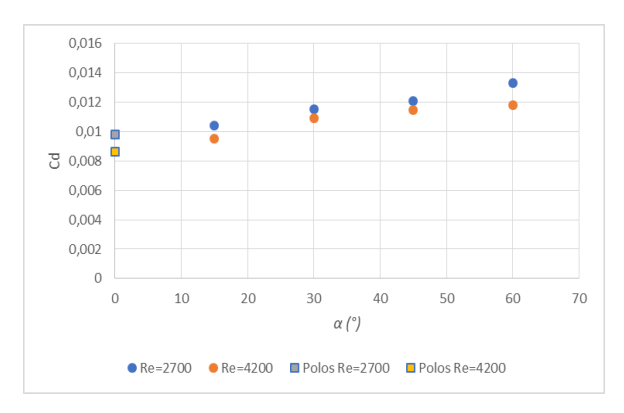


**Gambar 24.** Grafik profil kecepatan pada 0,5X/L ( $\alpha$ =60°) untuk Re=2700 (kiri) dan Re=4200 (kanan)

## G. Analisis Drag Coefficient

Tabel 2. Data Drag Coefficient

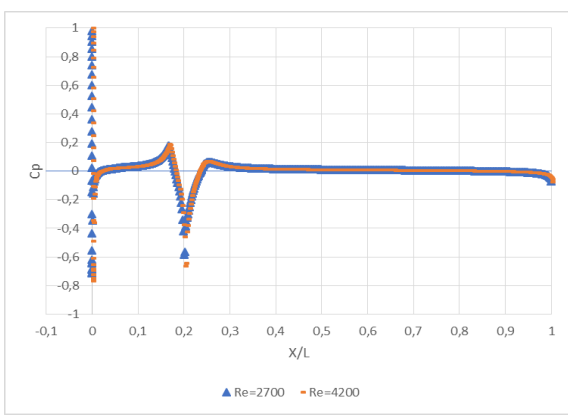
| Pelat datar  | R       | $e_h$   |
|--------------|---------|---------|
|              | 2700    | 4200    |
| Polos        | 0.0098  | 0.00865 |
| 15°          | 0.01041 | 0.00952 |
| $30^{\circ}$ | 0.01156 | 0.0109  |
| 45°          | 0.01208 | 0.01146 |
| $60^{\circ}$ | 0.01334 | 0.01183 |



Gambar 24. Perbandingan grafik Cd

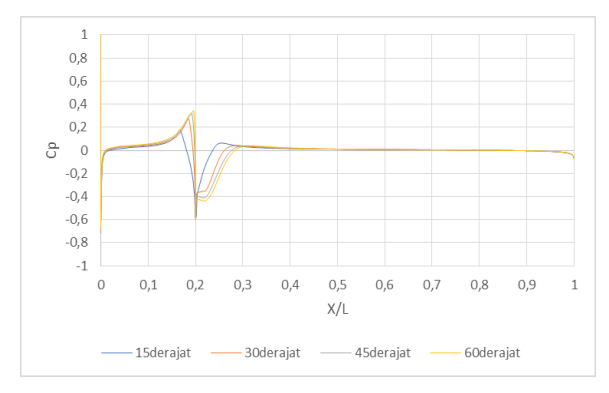
Analisis lebih lanjut menunjukkan bahwa pemasangan bump segitiga menghasilkan wake, dengan karakteristik intensitas turbulensi yang lebih tinggi, daerah tekanan rendah yang lebih luas, serta pola aliran balik yang lebih kuat. Interaksi antara boundary layer dengan bump segitiga menunjukkan kompleksitas yang tinggi, dimana terjadi percepatan aliran pada upstream bump akibat favorable pressure gradient, diikuti dengan perlambatan aliran yang tajam pada downstream bump, serta pembentukan bubble separation dalam memberikan energi intrusion dari fluktuasi yang ada pada bubble separation.





Gambar 25. Grafik Cp fungsi X/L pada α=45° untuk Re=2700 dan Re=4200

Keberadaan bump segitiga memengaruhi karakteristik aerodinamika pelat datar dengan menciptakan gangguan aliran yang signifikan. Gangguan ini menghasilkan zona tekanan tinggi di depan bump dan tekanan rendah di belakangnya, yang berpotensi meningkatkan drag aerodinamika akibat separasi aliran. Pada bilangan Reynolds rendah (Re = 2700), aliran cenderung lebih laminar dengan pola distribusi tekanan yang lebih halus dibandingkan dengan Re = 4200, di mana aliran lebih turbulen. Hasil ini menunjukkan bahwa bump segitiga dapat dimanfaatkan untuk memodifikasi karakteristik aliran, seperti meningkatkan pencampuran mengendalikan separasi aliran, penggunaannya harus dirancang secara hati-hati untuk meminimalkan peningkatan drag.



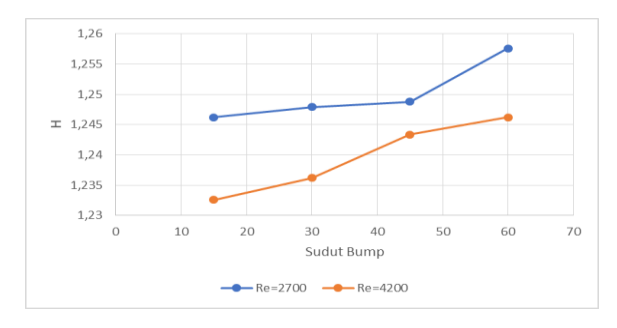
**Gambar 26.** Grafik Cp fungsi X/L pada pelat datar berdasarkan sudut bump  $(\alpha=15^{\circ}-60^{\circ})$  untuk Re=4200

Secara keseluruhan, semakin besar sudut bump, semakin besar pula gradien tekanan yang dihasilkan, baik pada daerah sebelum maupun sesudah bump. Sudut kecil seperti 15° menghasilkan gangguan aliran yang lebih ringan dengan perubahan Cp yang lebih halus, sedangkan sudut besar seperti 60° menciptakan gangguan yang signifikan dengan gradien tekanan yang tajam. Hasil ini menunjukkan bahwa variasi sudut bump memengaruhi distribusi tekanan secara digunakan sehingga langsung. dapat untuk mengontrol karakteristik aerodinamika sesuai kebutuhan desain.

Tabel 3. Profile Bubble pada Semua Variasi

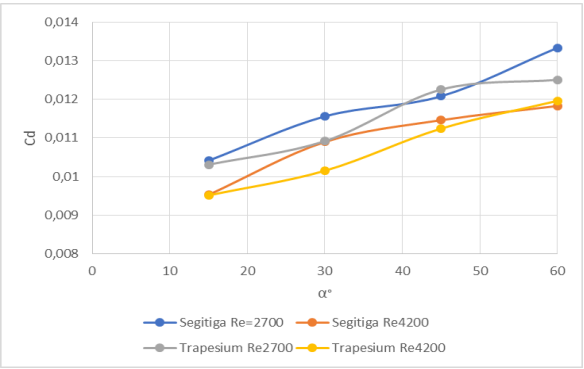
|       | Re=2                 | 2700   | Re=     | 4200   |  |
|-------|----------------------|--------|---------|--------|--|
| Sudut | Dimensi bubble (X/L) |        |         |        |  |
|       | Panjang              | Tebal  | Panjang | Tebal  |  |
| 15°   | 0.0382               | 0.0036 | 0.0237  | 0.0037 |  |
| 30°   | 0.0545               | 0.0067 | 0.0621  | 0.0068 |  |
| 45°   | 0.064                | 0.0080 | 0.0727  | 0.0081 |  |
| 60°   | 0.0761               | 0.0088 | 0.0801  | 0.0093 |  |

Secara statistik, rata-rata panjang gelembung untuk Re = 2700 adalah 0,04363 dengan rata-rata tebal 0,00507, sedangkan untuk Re = 4200 rata-rata panjangnya adalah 0,04073 dengan rata-rata tebal 0,00518. Hasil ini menunjukkan bahwa *bump* segitiga dapat digunakan untuk mengendalikan pemisahan aliran melalui pengaturan sudutnya, yang berimplikasi pada desain aerodinamika yang lebih efisien.



Gambar 27. Grafik H fungsi sudut α untuk Re=2700 dan Re=4200

Berdasarkan grafik perbandingan *shape factor* H terhadap sudut *bump* pada dua bilangan Reynolds (Re = 2700 dan Re = 4200), terlihat bahwa nilai H meningkat seiring bertambahnya sudut *bump* untuk kedua kondisi bilangan Reynolds. Pada Re = 2700, nilai H cenderung lebih tinggi dibandingkan dengan Re = 4200 untuk setiap sudut *bump* yang diamati, menunjukkan bahwa aliran pada bilangan Reynolds rendah lebih sensitif terhadap gangguan yang dihasilkan oleh *bump* segitiga.



Gambar 28. Komparasi bentuk bump terhadap Cd

Dapat terlihat bahwa modifikasi menggunakan bump trapesium memiliki error yang lebih kecil dari dibandingkan dengan bump segitiga, hal ini diduga akibat bump segitiga memiliki sudut-sudut tajam yang akan membuat aliran lebih tidak halus melewati bump, dengan itu maka bubble yang terbentuk oleh bump segitiga lebih kuat dari bump trapesium. Hal ini membuat performa yang lebih bagus dan bisa dikatakan lebih baik modifikasinya adalah bump trapezium.

## KESIMPULAN

Penambahan triangular *bump* pada pelat datar mampu menimbulkan *bubble separation*, Sehingga menambahkan *bump* berukuran 4 mm pada pelat datar yang diletakkan pada b/l = 140mm mampu meningkatkan intensitas turbulensi aliran pada area *adverse upperside* pelat datar, namun pada parameter koefisien drag belum mampu di optimalkan, koefisien *drag* dari pelat datar *bump* lebih tinggi dari pelat datar polos.

Penambahan *bump* segitiga dengan tinggi 4mm pada *upperside* pelat datar dapat menimbulkan *bubble separation* pada pelat datar. Penambahan *bump* segitiga dengan variasi sudut kemiringan (15°, 30°, 45°, dan 60°) menghasilkan perubahan signifikan pada distribusi tekanan (Cp) dan pola aliran di sekitar pelat datar. Pada sudut kecil (15°), gangguan aliran lebih ringan dengan perubahan Cp yang lebih halus, sedangkan pada sudut besar (60°), gangguan aerodinamika meningkat secara signifikan dengan gradien tekanan yang tajam. Peningkatan sudut kemiringan juga meningkatkan panjang dan ketebalan

separation bubble, yang berimplikasi pada peningkatan drag aerodinamika. Pada Re = 2700, separation bubble memiliki panjang relatif lebih pendek dengan pola aliran yang lebih sederhana. Sebaliknya, pada Re = 4200, momentum aliran yang lebih tinggi memperpanjang separation bubble ke arah downstream.

## REFERENSI

- Anderson, J. D. (1995). Computational-Fluid-Dynamics-the-Basics-With-Applications Anderson-J-D (J. J. Corrigan, Ed.). McGraw-Hill
- [2] Fox, R. W. (2011). Introduction to Fluid Mechanics, 8th Edition.
- [3] Kementerian Energi dan Sumber Daya Mineral Republik Indonesia. (2024, 18 Januari). Pemerintah kejar target tingkatkan bauran EBT [Siaran pers nomor 55.Pers/04/SJI/2024]. <a href="https://www.esdm.go.id/id/media-center/arsip-berita/pemerintah-kejar-tingkatkan-bauran-ebt">https://www.esdm.go.id/id/media-center/arsip-berita/pemerintah-kejar-tingkatkan-bauran-ebt</a>
- [4] Pritchard, P. J., & Leylegian, J. C. (2011). Fox and McDonalds Introduction to Fluid Mechanics, 8th Edition by Philip J. Pritchard (z-lib.org)
- [5] S. S. Hariyadi, "Karakteristik Aliran di Belakang Gundukan (*Bump*) Segitiga pada Plat Datar," *Jurnal Penelitian*, vol. 3, no. 2, pp. 203-211, 2017. https://doi.org/10.46491/jp.v2e3.97.203-211
- [6] S. W. R. K. & H. S. Sutardi, "Experimental and Numerical Study on the Boundary Layer Flow Over a *Pelat datar* with a Semi-circular *Bump* with and without a Transversal Wire," *AIP Conference Proceedings*, p. 2187, 2019. https://doi.org/10.1063/1.5138294
- [7] U. Azmi, "Studi Eksperimen dan Numerik Pengaruh Penambahan Vortex Generator pada Airfoil NASA LS-0417," *Jurnal Teknik ITS*, vol. 1, no. 6, 2017. https://doi.org/10.12962/j23373539.v6i1.21779
- [8] Z. &. A. A. Mehtar, "Influence of Sphreical and Pyramidical Dimples and *Bumps* on Airfoil Performance in Subsonic Flow," *Journal of Aerospace Technology and Management*, 2021. https://doi.org/10.1590/jatm.v13.1219

## KONFLIK KEPENTINGAN

Penulis tidak memiliki konflik kepentingan.

## **KETERSEDIAAN DATA**

Data tersedia dengan permintaan data kepada penulis.